

แรงยึดจือนของเตือยคอมโพสิตเสริมเลันไยควอทซ์ ที่ปรับสภาพพื้นผิวด้วยคลื่นไมโครเวฟ

Shear Bond Strength of Quartz Fiber Reinforced Composite Posts by Microwave Surface Treatment

ชญาพิพิร์ พิชัยพันธ์¹, ชาลักษณ์ เครื่องบุญมา¹, พิริยะ ยาภิราช²
¹นักศึกษาระดับประกาศนียบัตรบัณฑิตชั้นสูงทางวิทยาศาสตร์การแพทย์คลินิก สาขาวิชาทันตแพทยศาสตร์ แขนงวิชาทันตกรรมประดิษฐ์
²ภาควิชาทันตกรรมประดิษฐ์ คณะทันตแพทยศาสตร์ มหาวิทยาลัยเชียงใหม่
Chadathip Pichayapan¹, Schwallak Krauboonma¹, Piriya Yavirach²

¹Postgraduate Student, Department of Prosthodontics, Faculty of Dentistry, Chiang Mai University

²Department of Prosthodontics, Faculty of Dentistry, Chiang Mai University

ช.m.ทันตสรา 2552; 30(2) : 75-83
CM Dent J 2009; 30(2) : 75-83

บทคัดย่อ

วัตถุประสงค์ของการศึกษานี้เพื่อประเมินกำลังแรงยึดจือนของเรซิโนมโพสิตก่อแกนและเตือยคอมโพสิตเสริมเลันไยควอทซ์ที่ปรับสภาพพื้นผิวด้วยสารละลายไฮโดรเจนเปอร์ออกไซด์ ร้อยละ 10 ร่วมกับการใช้และไม่ใช้คลื่นไมโครเวฟ โดยสูตรเดือยคอมโพสิตเสริมเลันไยควอทซ์ 27 แท่งแบ่งเป็น 9 กลุ่มๆ ละ 3 แท่ง ตัดเดือยออกเป็น 2 ส่วน นำเดือยส่วนที่ 1 จำนวน 12 ชิ้น ไปแขวนสารละลายไฮโดรเจนเปอร์ออกไซด์ร้อยละ 10 เป็นเวลา 20 นาที, 60 ,90 และ 120 วินาที ตามลำดับ (กลุ่ม 1, 5, 6, และ 7) และจำนวน 9 ชิ้นแขวนสารละลายความเข้มข้นเท่ากันร่วมกับเข้าไมโครเวฟ เป็นเวลา 60, 90, 120 วินาที ตามลำดับ (กลุ่ม 2, 3 และ 4) ล้างให้สะอาด จากนั้นทาด้วยสารไฮเดรน กลุ่ม 8 ทาเฉพาะสารไฮเดรนอย่างเดียว และกลุ่ม 9 ไม่ปรับสภาพพื้นผิวใดๆ (กลุ่มควบคุม) ก่อแกนบนส่วนที่ 1ของเดือยด้วยเรซิโนมโพสิตก่อแกน แล้วตัดเป็นชิ้นทดสอบหนา 1 มม. ทดสอบกำลังแรงยึดแบบเจือนด้วยวิธีพุชเข้าที่ด้วยความเร็วหัวกด 0.5 มิลลิเมตรต่อนาที สูมเดือยส่วนที่ 2 ของทุกกลุ่มๆ ละ 2 แท่ง และประเมินค่าความขรุขระของผิวเดือยด้วยกล้องจุลทรรศน์และ

Abstract

The objective of this study was to evaluate shear bond strengths of core buildup composite resin -quartz fiber-reinforced composite posts, the surface treatment by 10% hydrogen peroxide with and without microwave irradiation. Twenty-seven fiber posts were randomly divided into 9 groups, 3 posts in each group. All posts were cut into two portions, the first portions (12 pieces) were tested for shear bond strength while the rest portions were used to evaluate surface roughness using atomic force microscope. In shear bond strength testing, 12 posts were only immersed in 10% hydrogen peroxide for 20 min, 60 sec, 90 sec, 120 sec respectively (group 1, 5, 6, and 7). The other 9 posts were immersed in the same solution under microwave irradiation for 60 sec, 90 sec, 120 sec respectively (group 2, 3, and 4). After the treatment, all posts were rinsed and coated with silane coupling agent. For group 8, the posts were only coated with silane coupling

อะตอม การวิเคราะห์ความแปรปรวนแบบจำแนกสองทาง พบว่า กลุ่ม 1 และ 2 ให้ค่ากำลังแรงยึดแบบเฉือนสูงสุดอย่างมีนัยสำคัญทางสถิติที่ความเชื่อมั่นร้อยละ 95 และการเผยแพร่ของเส้นใยcarbonที่สูงผลต่อค่ากำลังแรงยึดแบบเฉือนที่เพิ่มขึ้นมากกว่าความชุกระบบผิวของอีป็อกซี่เรซิน

คำไขรหัส: กำลังแรงยึดแบบเฉือน เดือยคอมโพสิต

agent and no surface treatment was applied to the posts in group 9 (control group). Core buildup composite resin were fabricated on the posts in each group, then sectioning for 1mm-thick specimens. These specimens were tested for shear bond strength using push-out test with cross-head speed 0.5 mm per minute. In surface roughness testing, two pieces of the posts in each group were randomly selected and evaluated for the surface roughness using atomic force microscope. Two-way ANOVA revealed that group 1 and 2 achieved highest shear bond strength ($P<0.05$). After surface treatment, the exposure of quartz fiber had more effectiveness in increasing shear strength than surface roughness of fiber post.

Keywords: shear bond strength, quartz fiber reinforced composite posts, surface treatment, microwave irradiation

บทนำ

การใช้เดือย (post) ร่วมกับการบูรณะฟันที่ผ่านการรักษาคลองรากฟันมีวัตถุประสงค์เพื่อให้มีโครงสร้างเนื้อฟันในส่วนของตัวฟันที่เหลืออยู่เพียงพอต่อการรองรับและเชื่อมต่อกับส่วนของแกนเดือยฟันที่สร้างขึ้นใหม่ ส่งผลให้เกิดการยึดติดที่ดีกับครอบฟัน⁽¹⁾ ระบบเดือยคอมโพสิตเสริมเส้นใยcarbon (quartz fiber reinforced composite posts system) เป็นเดือยสำเร็จรูปที่มีการพัฒนามาตั้งแต่ปี 1992⁽²⁾ การบูรณะด้วยเดือยชนิดนี้ทำให้เกิดแรงเห็น (stress) ภายในรากฟันน้อยลงเนื่องจากความแข็ง (stiffness) และโมดูลัสยืดหยุ่น (modulus of elasticity) ของเดือยมีขนาดใกล้เคียงเดือยฟัน⁽³⁻⁵⁾ อีกทั้งสามารถใช้สารยึดติด (bonding agent) ระหว่างเดือยคอมโพสิตเสริมเส้นใยcarbonกับชีเมนต์เรซิน และชีเมนต์เรซินกับเนื้อฟัน เกิดความเป็นเนื้อเดียวกัน (monobloc) ทำให้เกิดการติดอยู่ที่ดี⁽⁶⁾ ส่งผลให้มีความแข็งแรงของการ

ติดอยู่ (bond strength) กับเนื้อฟันดีกว่าเดือยโลหะหรือเดือยเซรามิก⁽⁷⁾ การบูรณะด้วยเดือยคอมโพสิตเสริมเส้นใยcarbonทำให้สามารถด้านหน้าการแตกหักได้มากขึ้น รองรับการสั่นสะเทือน เพิ่มกำลังที่ขีดล้ำ (fatigue strength) ในวัสดุ และทำให้เกิดความสวยงาม⁽⁸⁾ ลดการกัดกร่อน การแพ้ ลดระยะเวลาและลดจำนวนครั้งในการรักษารวมทั้งลดค่าใช้จ่าย นอกจากนี้ยังสามารถรื้อทำใหม่ได้ง่ายอีกด้วย^(1,9)

เดือยคอมโพสิตเสริมเส้นใยcarbonประกอบด้วยเส้นใยcarbonที่เรียงตัวในทิศทางเดียวกันฝั่งอยู่ในโพลิเมอร์เรซิน เมทริกซ์ และยึดกันด้วยไซเลน (silane coupling agents)⁽¹⁰⁾ ส่วนของเรซินเมทริกซ์โดยมากมักเป็นอีป็อกซี่โพลีเมอร์ที่ไม่เกลูลเปลี่ยนแปลงได้ยากและมีโครงสร้างตาข่ายที่แน่นหนา⁽⁸⁾ (highly cross-linking) เส้นใยcarbonเพิ่มความสามารถในการรองรับโดยดูดซับแรงไว้ที่เดือยแต่ไม่ถ่ายทอดแรงลงบนรากฟันที่อ่อนแอ

จึงสามารถป้องกันการแตกหักแนวตั้งของราชฟันได้⁽⁷⁾ อย่างไรก็ตามเรซินเมทิริกซ์นี้มีข้อด้อยคือ การรีโครงสร้างตัวข่ายที่แน่นหนา ทำให้เมทاكวิเลตจากเรซินคอมโพสิตก่อแกนไม่สามารถแทรกเข้าไปยึดติดกับเส้นใยคุวอทซ์ การไม่มีอนามูลอิสระ เช่น กลุ่มไอกลูโคซิล จากวิธีการผลิตที่มีกรรมวิธีผ่านความร้อนและเครื่องดูดสูญญากาศทำให้ขาดการเกิดปฏิกิริยาเคมีในการเชื่อมระหว่างกลุ่มเมทاكวิเลตในเรซิน คอมโพสิตก่อแกนกับอีปอกซีเรซิน เมทิริกซ์ของเดียวย ทำให้เกิดการหลุดระหว่างผิวของเดียยกับคอมโพสิตเสริมเส้นใยคุวอทซ์กับเรซินคอมโพสิตก่อแกนได้ง่าย ส่งผลต่อความล้มเหลวของครอบฟันได้⁽¹¹⁾ ซึ่งความสำคัญของการบูรณะฟันด้วยเดียยกับการเลือกชนิดของ เรซินคอมโพสิตก่อแกน เรซินซีเมนต์ที่ใช้ยึดเดียวย ลักษณะพื้นผิวของเดียวย และการปรับสภาพพื้นผิวเดียยก่อนการยึด⁽¹²⁾

การปรับสภาพพื้นผิวของเดียยกับคอมโพสิตเสริมเส้นใยทำได้ 2 วิธี วิธีแรกคือวิธีเชิงกล เช่น การสร้างร่องบนพื้นผิวเดียวย การเปาทราย⁽¹³⁾ เป็นต้น วิธีที่สองคือการใช้สารเคมีทำปฏิกิริยากับผิวเดียวย เช่น แซเดียอยในสารละลายไปตัดสเชียมเบอร์แมกานเนต สารละลายไปตัดสเชียมเบอร์แมกานเนตร่วมกับสารละลายกรดไฮโดรคลอริก เป็นเวลา 1 ชั่วโมง สารละลายไฮโดรเจนเปอร์ออกไซด์ สารละลายโซเดียมเอทอกไซด์ เป็นเวลา 20 นาที และการใช้ไฮเดรน เป็นต้น^(14,15) โดยทั่วไปแล้วก่อนก่อแกนเรซิน คอมโพสิตบนเดียยกับเสริมเส้นใยคุวอทซ์ทางบริษัทผู้ผลิตแนะนำให้ทาพื้นผิวเดียวยด้วยไฮเดรนเพื่อทำให้เกิดสภาพที่เหมาะสมกับการเกาะตัวของเรซิน คอมโพสิต⁽¹⁶⁾ เนื่องจากไฮเดรนสามารถปรับปรุงการไหลแอล (wettability)⁽¹⁷⁾ และทำให้เกิดพันธะเคมีกับกลุ่มไอกลูโคไซด์ของสารอนินทรีย์ เช่น แก้วหรือคุวอทซ์ ในบริเวณรอยต่อของคอมโพสิต เรซินก่อแกนและเส้นใยคุวอทซ์ที่เผยแพร่ผ่านช่องเกิดขึ้นภายหลังการปรับสภาพพื้นผิวแล้ว^(16,18) แต่เนื่องจากคุณสมบัติของอีปอกซี เรซินที่มีโครงสร้างตัวข่ายที่แน่นหนาและผ่านกระบวนการโพลิเมอไรเซชันที่สมบูรณ์ ทำให้การกำจัดผิวอีปอกซี เรซินเพื่อให้เส้นใยคุวอทซ์เผยแพร่ผ่านจึงทำได้ยาก นอกจากการใช้สารเคมีแล้ว ปัจจุบันมีความสนใจในพัฒนาไมโครเวฟที่ใช้ปรับสภาพพื้นผิวของโพลิเมอร์ เช่น โพลิไพรพิลีน (polypropylene) ซึ่งให้ผลในการเพิ่มการไหลแอลของพื้นผิวและทำให้เกิดปฏิกิริยาออกซิเดชันได้ ประกอบกับได้มีการใช้พัฒนาไมโครเวฟมาใช้ในทางทันตกรรมโดยเฉพาะการใช้พัฒนาไมโครเวฟในการกระตุ้นให้เกิดโพลิเมอร์ (polymerization) ของวัสดุฐานฟันเทียม (denture-base materials)⁽¹⁹⁾ ใช้กระตุ้นให้เกิดโพลิเมอร์วัสดุซ้อมฐานฟันเทียม⁽²⁰⁾ ใช้กระตุ้นให้เกิดโพลิเมอร์ของวัสดุเสริมฐานฟันเทียมอย่างนุ่ม (soft lining material)⁽²¹⁾ ไมโครเวฟเป็นคลื่นแม่เหล็กไฟฟ้า (electro-magnetic wave) ในช่วงไมโครเวฟที่มีขั้ว (polarization) โดยทั่วไปมีความยาวคลื่นระหว่าง 1-30 ซม. ซึ่งยาวกว่ารังสีอินฟราเรด (infrared ray) แต่สั้นกว่าความยาวคลื่นโทรศัพท์ และวิทยุ ดังนั้นวัสดุที่ถูกทำให้ร้อนด้วยไมโครเวฟความร้อนเจิงต้องมีโมเลกุลที่มีขั้ว (polarized molecule)⁽²²⁾

ดังนั้นจากการศึกษาข้างต้น และลักษณะของอีปอกซีเรซินที่มีพันธะอีปอกไซด์ซึ่งสามารถเกิดปฏิกิริยาออกซิเดชันได้ ร่วมกับการแตกตัวของสารละลายไฮโดรเจนเปอร์ออกไซด์ที่เร็วขึ้นอันเนื่องมาจากคลื่นไมโครเวฟ น่าจะทำให้เกิดการแตกตัวของพันธะอีปอกไซด์ได้ขึ้น จึงเกิดแนวคิดในการใช้สารละลายไฮโดรเจนเปอร์ออกไซด์ร้อยละ 10 (โดยปริมาตร) ร่วมกับการใช้ไมโครเวฟในช่วงระยะเวลาต่างๆ กัน โดยคาดว่าจะช่วยเร่งปฏิกิริยาออกซิเดชันและให้ผลของการปรับปรุงลักษณะพื้นผิวที่ดีขึ้น ช่วยเพิ่มการติดอยู่ระหว่างเรซินคอมโพสิตก่อแกนกับเดียยกับเสริมเส้นใยคุวอทซ์และใช้เวลาลดลงเมื่อเทียบกับวิธีอื่นๆ

วัสดุอุปกรณ์และวิธีการ

เดียยกับคอมโพสิตเสริมเส้นใยคุวอทซ์ (ยี่ห้อ DT light posts[®] : Batch number 031740606, RTD, St. Engrève, France) 27 แท่ง แบ่งเป็นกลุ่มจำนวน 9 กลุ่ม กลุ่มละ 3 แท่ง ด้วยวิธีสุ่ม (simple random sampling without replacement) แต่ละแท่งยาว 20 มม. นำมาตัดแบ่งสองส่วน ส่วนบนยาว 13 มม. และส่วนปลายยาว 6 มม. นำไปปรับสภาพพื้นผิวดังนี้ กลุ่ม 1,5,6,7 คือเดียยกับคอมโพสิตเสริมเส้นใยคุวอทซ์ที่ปรับสภาพพื้นผิวด้วยการแช่ในสารละลายไฮโดรเจนเปอร์ออกไซด์ ร้อยละ 10 (โดยปริมาตร) (Hydrogen peroxide 50% : Batch number A041196,

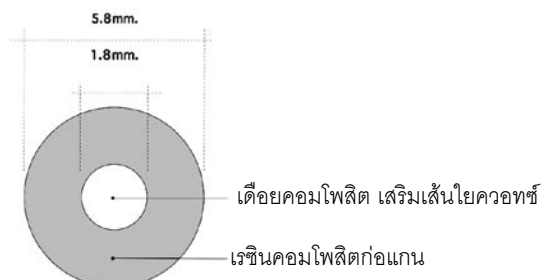
Peroxithai Co.th.) ที่อุณหภูมิห้อง โดยนำเดือยมาใส่ในถ้วยแก้วที่บรรจุสารละลายไฮโดรเจนเปอร์ออกไซด์ 10 มล. ให้สารละลายทั่วเม็ดเดือยหั้งหมด เป็นเวลา 20 นาที, 60,90,120 วินาที ตามลำดับ กลุ่ม 2,4,6 คือเดือยคอมโพสิตเสริมเส้นใยcarbonที่ไม่ปรับสภาพพื้นผิว (กลุ่มควบคุม) ซึ่งสามารถสรุปการปรับสภาพเดือยแต่ละกลุ่มดังตารางที่ 1

ตารางที่ 1: กลุ่มชิ้นทดสอบแบ่งตามวิธีการปรับสภาพพื้นผิว เดือยคอมโพสิตเสริมเส้นใยcarbon

กลุ่ม	วิธีการปรับสภาพพื้นผิวเดือยคอมโพสิตเสริมเส้นใยcarbon	ระยะเวลาในการปรับสภาพพื้ว
1	แช่ในสารละลายไฮโดรเจนเปอร์ออกไซด์ ร้อยละ 10 (โดยบีร์มาต์) ที่อุณหภูมิห้อง+ไฮเดน	20 นาที
2	แช่ในสารละลายไฮโดรเจนเปอร์ออกไซด์ ร้อยละ 10 (โดยบีร์มาต์) และนำเข้าเครื่องไมโครเวฟ+ไฮเดน	60 วินาที
3	แช่ในสารละลายไฮโดรเจนเปอร์ออกไซด์ ร้อยละ 10 (โดยบีร์มาต์) และนำเข้าเครื่องไมโครเวฟ+ไฮเดน	90 วินาที
4	แช่ในสารละลายไฮโดรเจนเปอร์ออกไซด์ ร้อยละ 10 (โดยบีร์มาต์) และนำเข้าเครื่องไมโครเวฟ+ไฮเดน	120 วินาที
5	แช่ในสารละลายไฮโดรเจนเปอร์ออกไซด์ ร้อยละ 10 (โดยบีร์มาต์) ที่อุณหภูมิห้อง+ไฮเดน	60 วินาที
6	แช่ในสารละลายไฮโดรเจนเปอร์ออกไซด์ ร้อยละ 10 (โดยบีร์มาต์) ที่อุณหภูมิห้อง+ไฮเดน	90 วินาที
7	แช่ในสารละลายไฮโดรเจนเปอร์ออกไซด์ ร้อยละ 10 (โดยบีร์มาต์) ที่อุณหภูมิห้อง+ไฮเดน	120 วินาที
8	ไม่ปรับสภาพพื้นผิว แต่ทาเจพะไฮเดน	-
9	ไม่ปรับสภาพพื้นผิว (กลุ่มควบคุม)	-

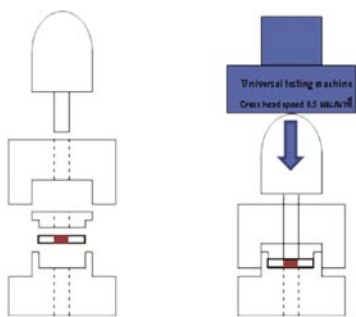
เดือยคอมโพสิตเสริมเส้นใยcarbonที่ไม่ปรับสภาพพื้นผิว (กลุ่มควบคุม) ซึ่งสามารถสรุปการปรับสภาพเดือยแต่ละกลุ่มดังตารางที่ 1

จากนั้นนำชิ้นทดสอบทั้ง 9 กลุ่ม ยึดบนฐานโลหะให้เดือยพื้นตั้งตรงสวยงามหลอดยาชา (เส้นผ่าศูนย์กลาง 6 มม.) ที่ตัดมาให้ยาวกว่าเดือยพื้นประมาณ 2 มม. โดยให้เดือยพื้นอยู่กึ่งกลางหลอดยาชา เติมเรซิโนมโพสิตก่อแกน (MultiCore Flow®: Batch number K16799, Ivoclar-Vivadent, Schaan, Liechtenstein) รอบเดือย จนสูงประมาณ 8 มม. ใช้เครื่องขยายแสง (75 วัตต์) เร่งปฏิกิริยาโพลิเมอร์ไวเซ็น จากนั้นนำเดือยคอมโพสิตเสริมเส้นใยcarbonที่ล้อมรอบด้วยเรซิโนมโพสิตก่อแกนที่มีขนาดเส้นผ่าศูนย์กลาง 6 มม. สูง 8 มม. ตัดด้วยเครื่องตัดตัวอย่างให้ได้ชิ้นทดสอบหนา 1 มม. (ดังรูปที่ 1) จำนวน 10 ชิ้นต่อกลุ่มตัวอย่าง บรรจุชิ้นทดสอบลงในแท่นโลหะ นำแท่นโลหะวางบนเครื่องทดสอบ sagital (Universal Testing Machine: Statics, Instron Model 5560, Instron corp. USA.) ใช้หัวกดเคลื่อนที่ด้วยอัตราเร็ว 0.5 มิลลิเมตรต่อนาที (ดังรูปที่ 2) บันทึกค่าแรงกดสูงสุดที่ทำให้เดือยคอมโพสิตเสริมเส้นใยcarbonหลุดออกจาก เรซิโนมโพสิตก่อแกนในหน่วยนิวตัน แล้วนำมาราดด้วยพื้นที่สัมผัส (ซึ่งได้จากการวัดเส้นผ่าศูนย์กลางเดียยแต่ละส่วนแล้วนำมาคำนวณพื้นที่ผิวรอบวงที่หนา 1 มม.) เพื่อให้ได้หน่วยเป็น เมกะปascal (Megapascal) นำข้อมูลที่ได้มามาค่าเฉลี่ยและส่วนเบี่ยงเบนมาตรฐานของค่ากำลังแรงบิดแบบเฉือนในแต่ละกลุ่มตัวอย่าง



รูปที่ 1: แสดงชิ้นทดสอบหนา 1 ม.ม.

Figure 1: specimen 1 mm. thickness



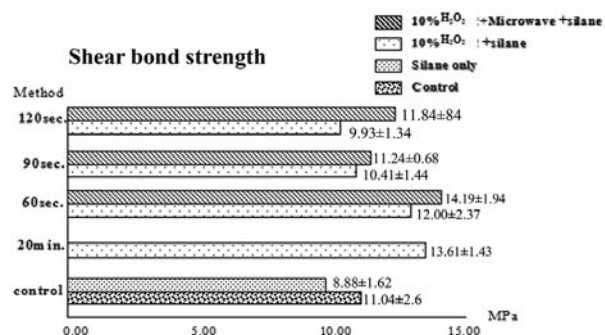
รูปที่ 2: แสดงกลไกการทดสอบตัวอย่างทดลองด้วยวิธีพุชเอาท์

Figure 2: Push-out test mechanism.

สำหรับเดียวกันในส่วนที่สอง (เดียวกันล่าง 6 มม.) ที่ผ่านการปรับสภาพพื้นผิวตามตารางที่ 1 ทำการสุมชิ้นทดลองส่วนปลายกลุ่ม 1-9 กลุ่มละ 2 แห่งมาวัดความขุ่นระของผิวเดียวกับคอมโพสิตเสริมเส้นใยcarbonที่ด้วยกล้องจุลทรรศน์แรงดึงตอน (Atomic Force Microscope : Nanoscope IIIA, Veeco, Methology group, France) โดยใช้อัตราในการสแกน 0.3 รอบต่อวินาที (Hertz) ขนาดการวัดครั้งละ 30x30 ไมโครเมตรรวมเป็นพื้นที่ 900 ตารางไมโครเมตร บันทึกความขุ่นระในหน่วยนาโนเมตร นำมาเปรียบเทียบค่าเฉลี่ยความขุ่นระและภาพถ่ายสามมิติของพื้นผิวเดียวกับคอมโพสิตเสริมเส้นใยcarbonที่ภายนหลังการปรับสภาพพื้นผิวด้วยไมโครเวฟร่วมกับสารเคมี

ผลการวิจัย

ค่าเฉลี่ยกำลังแรงยึดแบบเฉือนระหว่างเดียวกับคอมโพสิตเสริมเส้นใยcarbonที่กับเรซิโน่คอมโพสิตก่อแกนของแต่ละกลุ่มตัวอย่างแสดงในกราฟที่ 1 นำค่ากำลังแรงยึดแบบเฉือนมาทดสอบการกระจายตัวอย่างปกติตัวอย่าง Kolmogorov-Smirnov test และตรวจสอบความเป็นเอกภาพของความแปรปรวนด้วยวิธี Levene's Test จากนั้นใช้การวิเคราะห์ความแปรปรวนแบบจำแนกสองทาง (Two-way ANOVA Test) ทดสอบสมมุติฐานโดยมีค่ากำลังแรงยึดแบบเฉือนเป็นตัวแปรตามและมีชนิดการปรับสภาพพื้นผิวและเวลาในการปรับสภาพพื้นผิวเป็นตัวปัจจัย และใช้ Turkey's test เพื่อ post-hoc multiple comparison สำหรับการปรับสภาพพื้นผิวและเวลา ใน



กราฟที่ 1: กราฟแสดงผลค่าเฉลี่ยกำลังแรงยึดแบบเฉือนและส่วนเบี่ยงเบนมาตรฐานของแต่ละกลุ่มตัวอย่าง

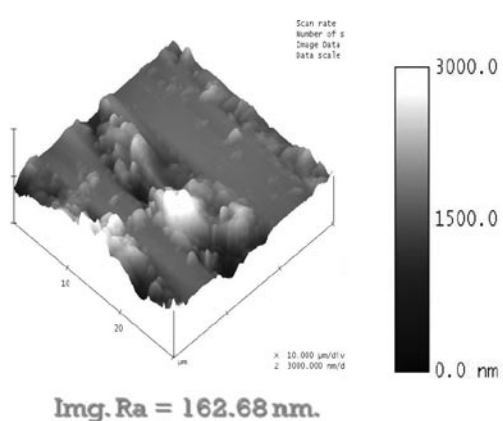
Graph I : Mean and Standard Deviation of shear bond strength after different post surface treatments.

ทุกการทดสอบมีนัยสำคัญที่ระดับความเชื่อมั่นร้อยละ 95 โดยคำนวณด้วยโปรแกรม SPSS 14.0 Software (SPSS Inc;Chicago,IL,USA.) พบว่ากลุ่ม 1 และกลุ่ม 2 ให้ค่ากำลังแรงยึดแบบเฉือนสูงสุดอย่างมีนัยสำคัญที่ความเชื่อมั่นร้อยละ 95

จากการวิเคราะห์ทางสถิติตัวอย่าง Multiple Comparisons ของการวิเคราะห์ความแปรปรวนแบบจำแนกทางเดียว (One-way ANOVA Test) แสดงให้เห็นว่าค่าเฉลี่ยกำลังแรงยึดแบบเฉือนของกลุ่ม 9 แตกต่างกับกลุ่ม 1, กลุ่ม 2 และกลุ่ม 8 ในขณะที่ค่าเฉลี่ยกำลังแรงยึดแบบเฉือนของกลุ่ม 1 ไม่แตกต่างอย่างมีนัยสำคัญทางสถิติกับกลุ่ม 2

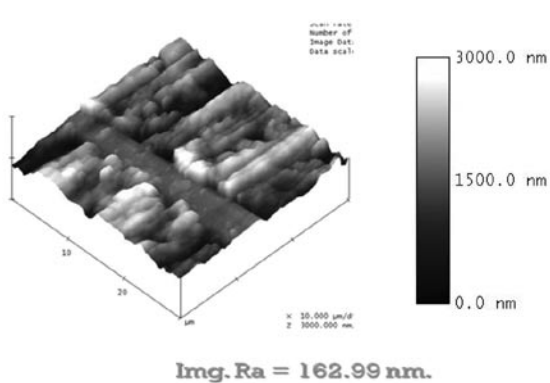
ค่าเฉลี่ยความขุ่นระของพื้นผิวเดียวกับคอมโพสิตเสริมเส้นใยcarbonที่โดยกล้องจุลทรรศน์แรงดึงตอน ลักษณะพื้นผิวของกลุ่ม 1 มีการเผยแพร่ของcarbonไฟเบอร์ได้มากเท่ากับกลุ่ม 2 โดยมีค่าเฉลี่ยความขุ่นระของพื้นผิวเดียวกับคอมโพสิตเสริมเส้นใยcarbon 162.68 นาโนเมตรและ 162.99 นาโนเมตรตามลำดับ (ดังรูปที่ 3 และ 4)

ลักษณะพื้นผิวของกลุ่ม 3, 5, 6, 7 และ 9 ไม่พบการเผยแพร่ของcarbonไฟเบอร์อย่างชัดเจนเหมือนกลุ่ม 1 และ 2 โดยมีค่าเฉลี่ยความขุ่นระของพื้นผิวของเดียวกับคอมโพสิตเสริมเส้นใยcarbon 177.03 นาโนเมตร 95.86 นาโนเมตร 205.35 นาโนเมตร 163.91 นาโนเมตรและ 138.96 นาโนเมตรตามลำดับ ลักษณะพื้นผิวของกลุ่มที่ 4 ไม่มีการเผยแพร่ของcarbonไฟเบอร์อย่างชัดเจนเหมือนกลุ่ม



รูปที่ 3 : กลุ่ม 1 (ความขรุขระของพื้นผิวที่ปรับสภาพผิวด้วย 10% H_2O_2 20 นาที + Silane)

Figure 3: Group 1 (Surface roughness treated by 10% hydrogen peroxide 20 min then applied silane coupling agent.)



รูปที่ 4 : กลุ่ม 2 (ความขรุขระของพื้นผิวที่ปรับสภาพผิวด้วย 10% H_2O_2 + Microwave 60 วินาที+ Silane)

Figure 4: Group 2 (Surface roughness treated by 10% hydrogen peroxide under microwave irradiation 60 sec then applied silane coupling agent.)

1 และกลุ่ม 2 พบว่าพื้นผิวมีลักษณะขรุขระทั่วไปโดยมีค่า เฉลี่ยความขรุขระของพื้นผิวเดียวกับคอมโพลิตเสริมเส้นใย คาวอทซ์ 149.66 นาโนเมตร

บทวิจารณ์

ค่าเฉลี่ยกำลังแรงยึดแบบเจื่อนของกลุ่ม 1 และกลุ่ม 2 มีค่าสูงที่สุดอย่างมีนัยสำคัญทางสถิติ เนื่องจากการใช้ สารละลายน้ำไดรเจนเปอร์ออกไซด์สามารถละลายอีปอกซี

ซีเรชิน เมทริกซ์⁽¹⁵⁾ และทำลายพันธะอีปอกไซด์ ทำให้เกิด การเผยแพร่ของเส้นใยคาวอทซ์เป็นส่วนที่สามารถทำปฏิกิริยาไชเลนในเชื้นได้⁽¹⁶⁾ สงเสริมให้แรงยึดของผิวหน้าของเส้นใยและวัสดุก่อแกนมากขึ้น⁽²³⁾ และการ กัดกร่อนอีปอกซี เรชินเมทริกซ์ให้หลุดออกไป จะทำให้เกิดช่องว่างขนาดเล็กที่เพิ่มการติดอยู่ (retention space)¹⁴

ปฏิกิริยาไชเลนในเชื้นที่มีอะมิโนไชเลน (Amino-silane coupling agents) จะสงเสริมให้เกิดการติดอยู่ที่ดี ของอีปอกซีเรชินโพลิเมอร์ เนื่องจากทำให้เกิดทั้งพันธะเคมีระหว่างสารอนินทรีกับโพลิเมอร์ และเพิ่มการไอล แผ่ที่ดีขึ้น⁽²⁴⁾

แม้การศึกษาที่ผ่านมาจะแนะนำให้ใช้ไชเลนทابน ผิวของเดียวกับคอมโพลิตเสริมเส้นใยคาวอทซ์ก่อนก่อแกน คอมโพลิตเรชิน^(16,25,26) เพื่อให้เกิดการติดอยู่แบบปฏิกิริยาเคมีและแรงเสียดทานระหว่างพื้นผิวทั้งสอง⁽²⁷⁾ แต่ในการทดลองนี้พบว่าค่าเฉลี่ยกำลังแรงยึดแบบเจื่อน ของกลุ่มที่ไม่ปรับสภาพพื้นผิวแต่ทาเฉพาะไชเลนมีค่า น้อยที่สุด และน้อยกว่ากลุ่มควบคุมอย่างมีนัยสำคัญ เนื่องจากอีปอกซีเรชินไม่มีกลุ่มของอะตอมที่ทำให้เกิดคุณสมบัติเฉพาะของสารประกอบ เช่นกลุ่มไฮดรอกไซด์ (OH) ไชเลนจึงไม่ยึดติดระหว่างอีปอกซีเรชิน เมทริกซ์กับ ส่วนเมทัคริเลตของเรชินคอมโพลิตก่อแกน ดังนั้นวิธีการ เพิ่มพันธะเคมีระหว่างเส้นใยคาวอทซ์ที่ทาไชเลนและ เมทัคริเลตของวัสดุก่อแกน คือการจำกัดพื้นที่นอกของ อีปอกซีเรชินเมทริกซ์ โดยการใช้สารเคมีปรับสภาพพื้นผิว ทำให้เกิดการเผยแพร่ของเส้นใยคาวอทซ์มากขึ้น และสามารถทำปฏิกิริยาเคมีกับโมเลกุลของไชเลน นอกจากนี้ ความขรุขระเนื่องจากการเผยแพร่ของเส้นใยคาวอทซ์ยังก่อให้เกิดเกิดการเกาะเกี่ยวเชิงกลไก (micromechanical interlocking)⁽¹¹⁾ ในทางคลินิกการปรับสภาพผิวเดียวกับ คอมโพลิตเสริมเส้นใยด้วยการใช้ไชเลนเพียงอย่างเดียว จึงไม่สามารถทำให้กำลังแรงยึดแบบเจื่อนระหว่างเดียวกับ คอมโพลิต เสริมเส้นใยและเรชินคอมโพลิตก่อแกนเพิ่ม ขึ้นได้ ซึ่งสอดคล้องกับผลการทดลองของ Sahafi และ คณะ⁽²⁸⁾, Perdigao และคณะ⁽⁷⁾, Wrbas และคณะ⁽²⁹⁾

อย่างไรก็ตามการศึกษาของ Aksornmuang และ คณะ⁽¹⁸⁾ พบว่า การใช้ไชเลนเพียงอย่างเดียวโดยไม่ปรับ

สภาพพื้นผิวของเดียยคอมโพสิตเสริมเส้นใย สามารถเพิ่มการติดอยู่ของเดียยคอมโพสิตเสริมเส้นใยแก้วและเส้นใยcarbonทึบกับเรซินคอมโพสิตก่อแกนได้ เนื่องจากการทดลองนี้ใช้ Clearfil Porcelain Bond Activator ซึ่งเป็นไซเลนที่ปะกอบด้วยสาร 2 ชนิดคือ Clearfil Liner Bond 2V Primer และ Clearfil PhotoBond ที่มีส่วนประกอบของสารเยิดติดเรซิน (resin adhesive system) มาผสมกัน จัดว่าเป็นไซเลนที่ไม่ใช่กลุ่ม prehydrolyzed ซึ่งแตกต่างจากการทดลองอื่นๆ ที่ใช้ไซเลนกลุ่ม prehydrolyzed เพียงอย่างเดียว

เมื่อเปรียบเทียบค่ากำลังแรงยึดแบบเฉือนของกลุ่มที่ปะกอบสภาพพื้นผิวด้วยสารละลายไฮโดรเจนเปอร์ออกไซด์ร้อยละ 10 ในไมโครเวฟเป็นเวลา 90 และ 120 วินาที ร่วมกับการทำทาราไซเลนกลับพบว่ามีค่ากำลังแรงยึดแบบเฉือนลดลง อาจเนื่องจากเดียยคอมโพสิตเสริมเส้นใย carbonที่ปะกอบสภาพพื้นผิวด้วยสารละลายไฮโดรเจนเปอร์ออกไซด์ร้อยละ 10 (โดยปริมาตร) ร่วมกับพลังงานไมโครเวฟมีอิทธิพลต่อการกัดกร่อนบนผิวเดียยคอมโพสิตเสริมเส้นใยcarbonอย่างรุนแรง โดยกลุ่มที่ปะกอบสภาพพื้นผิวด้วยสารละลายไฮโดรเจนเปอร์ออกไซด์ร้อยละ 10 (โดยปริมาตร) ในไมโครเวฟ เป็นเวลา 60 วินาที จะพบการเผยแพร่ของเส้นใยcarbon เช่นเดียวกับกลุ่มที่ปะกอบสภาพพื้นผิวด้วยสารละลายไฮโดรเจนเปอร์ออกไซด์ร้อยละ 10 (โดยปริมาตร) ในอุณหภูมิห้องเป็นเวลา 20 นาที แต่ในขณะที่การปะกอบสภาพพื้นผิวกลุ่มที่ใช้เวลา 90 และ 120 วินาที ไม่พบลักษณะการเผยแพร่ของเส้นใยcarbon พ布เพียงการกัดกร่อนของผิวอีปอกซีเรซินเมทริกซ์ในระดับความลึกที่แตกต่างกัน แสดงให้เห็นว่าเส้นใยcarbonถูกกัดกร่อนออกไป ซึ่งสอดคล้องกับค่ากำลังแรงยึดแบบเฉือนที่ได้ ทำให้คาดว่า การเผยแพร่ของเส้นใยcarbonจะมีอิทธิพลต่อกำลังแรงยึดแบบเฉือนมากกว่าความขุ่นระขของผิวอีปอกซีเรซินเมทริกซ์

บทสรุป

ภายใต้ข้อจำกัดของการทดลอง สามารถสรุปผลได้ดังนี้

- การปะกอบสภาพพื้นผิวด้วยสารละลายไฮโดรเจนเปอร์ออกไซด์ร้อยละ 10 (โดยปริมาตร) ในไมโครเวฟเป็น

เวลา 60 วินาทีให้ค่าเฉลี่ยกำลังแรงยึดแบบเฉือนเท่ากับการปะกอบสภาพพื้นผิวด้วยสารละลายไฮโดรเจนเปอร์ออกไซด์ร้อยละ 10 (โดยปริมาตร) ในอุณหภูมิห้องเป็นเวลา 20 นาที

- การปะกอบสภาพพื้นผิวด้วยสารละลายไฮโดรเจนเปอร์ออกไซด์ร้อยละ 10 (โดยปริมาตร) ในไมโครเวฟเป็นเวลา 60 วินาทีทำให้เกิดลักษณะการเผยแพร่ของเส้นใยcarbonที่เท่ากับการปะกอบสภาพพื้นผิวด้วยสารละลายไฮโดรเจนเปอร์ออกไซด์ร้อยละ 10 (โดยปริมาตร) ในอุณหภูมิห้องเป็นเวลา 20 นาที

- ความขุ่นระขของพื้นผิวเดียยคอมโพสิตเสริมเส้นใยcarbonที่ทำการปะกอบสภาพพื้นผิวด้วยสารละลายไฮโดรเจนเปอร์ออกไซด์ร่วมกับการทำให้และไม่ไมโครเวฟ มีรูปแบบและความลึกที่ไม่สามารถนำมาหาความสัมพันธ์ระหว่างกันได้

กิตติกรรมประการ

ขอขอบคุณ อาจารย์ทันตแพทย์ เทพรัตน์ เขมาลีลา กุล ที่กรุณาให้ความช่วยเหลือ และคำแนะนำในการใช้เครื่องทดสอบหากล รศ.ดร.ธีรวรรณ บุญวรรณ และคุณสมฤทัย ตันมา ศูนย์วิจัยนิวเคลียร์สถาบันพลังงานสูง ภาควิชาฟิสิกส์ ที่ให้คำปรึกษาเกี่ยวกับวิธีการปะกอบสภาพพื้นผิวคุณวิสสวัณณ์ กิตติกร ภาควิชาทันตวิทยา-พยาธิวิทยา ช่องปาก ที่ให้คำแนะนำและควบคุมการใช้เครื่องตัดตัวอย่าง รวมทั้งขอขอบคุณบริษัท แอ็คเตอน (ประเทศไทย) จำกัด ที่ให้ความอนุเคราะห์สนับสนุนเดียยคอมโพสิตเสริมเส้นใยcarbon และ บริษัท ยูนิตี้ เด็นทัล จำกัด ที่ให้ความอนุเคราะห์สนับสนุนวัสดุเรซินคอมโพสิตก่อแกนที่ใช้ในการวิจัยครั้งนี้

เอกสารอ้างอิง

- Eskitascioglu G, Belli S, Kalkan M. Evaluation of two post core systems using two different methods (fracture strength test and a finite element stress analysis). *J Endod* 2002; 28(9): 629-633
- Goldberg AJ, Burstone CJ. The use of continuous fiber reinforcement in dentistry. *Dent Mater* 1992; 8(3): 197-202

3. Artopoulou, II, O'Keefe KL. Materials used in prefabricated post and core systems. A review of the literature. *Tex Dent J* 2006; 123(4): 358-363
4. Isidor F, Odman P, Brondum K. Intermittent loading of teeth restored using prefabricated carbon fiber posts. *Int J Prosthodont* 1996; 9(2): 131-136
5. Seefeld F, Wenz HJ, Ludwig K, Kern M. Resistance to fracture and structural characteristics of different fiber reinforced post systems. *Dent Mater* 2007; 23(3): 265-271
6. Boschian Pest L, Guidotti S, Pietrabissa R, Gagliani M. Stress distribution in a post-restored tooth using the three-dimensional finite element method. *J Oral Rehabil* 2006; 33(9): 690-697
7. Perdigao J, Gomes G, Lee IK. The effect of silane on the bond strengths of fiber posts. *Dent Mater* 2006; 22(8): 752-758
8. Kalkan M, Usumez A, Ozturk AN, Belli S, Eskitascioglu G. Bond strength between root dentin and three glass-fiber post systems. *J Prosthet Dent* 2006; 96(1): 41-46
9. Kremeier K, Fasen L, Klaiber B, Hofmann N. Influence of endodontic post type (glass fiber, quartz fiber or gold) and luting material on push-out bond strength to dentin in vitro. *Dent Mater* 2007; 24(5): 660-666
10. Akgungor G, Akkayan B. Influence of dentin bonding agents and polymerization modes on the bond strength between translucent fiber posts and three dentin regions within a post space. *J Prosthet Dent* 2006; 95(5): 368-378
11. Purton DG, Payne JA. Comparison of carbon fiber and stainless steel root canal posts. *Quintessence Int* 1996; 27(2): 93-97
12. Coelho Santos G, Jr., El-Mowafy O, Hernique Rubo J. Diametral tensile strength of a resin composite core with nonmetallic prefabricated posts: an in vitro study. *J Prosthet Dent* 2004; 91(4): 335-341
13. Cheleux N, Sharrock P, Degrange M. Surface treatments on quartz fiber post: influence on adhesion and flexural properties. *Am J Dent* 2007; 20(6): 375-379
14. Monticelli F, Toledano M, Tay FR, Cury AH, Goracci C, Ferrari M. Post-surface conditioning improves interfacial adhesion in post/core restorations. *Dent Mater* 2006; 22(7): 602-609
15. Monticelli F, Toledano M, Tay FR, Sadek FT, Goracci C, Ferrari M. A simple etching technique for improving the retention of fiber posts to resin composites. *J Endod* 2006; 32(1): 44-47
16. Goracci C, Raffaelli O, Monticelli F, Balleri B, Bertelli E, Ferrari M. The adhesion between prefabricated FRC posts and composite resin cores: microtensile bond strength with and without post-silanization. *Dent Mater* 2005; 21(5): 437-444
17. Park SJ, Jin JS. Effect of Silane Coupling Agent on Interphase and Performance of Glass Fibers/Unsaturated Polyester Composites. *J Colloid Interface Science* 2001; 242(1): 174-179
18. Aksornmuang J, Foxton RM, Nakajima M, Tagami J. Microtensile bond strength of a dual-cure resin core material to glass and quartz fibre posts. *J Dent* 2004; 32(6): 443-450
19. De Clerck JP. Microwave polymerization of acrylic resins used in dental prostheses. *J Prosthet Dent* 1987; 57(5): 650-658
20. Rached RN, Del-Bel Cury AA. Heat-cured acrylic resin repaired with microwave-cured one: bond strength and surface texture. *J Oral Rehabil* 2001; 28(4): 370-375
21. Baysan A, Parker S, Wright PS. Adhesion and tear energy of a long-term soft lining material activated by rapid microwave energy. *J Prosthet Dent* 1998; 79(2): 182-187

22. Rohrer MD, Bulard RA. Microwave sterilization. *J Am Dent Assoc* 1985; 110(2): 194-198
23. Vano M, Goracci C, Monticelli F, Tognini F, Gabriele M, Tay FR, et al. The adhesion between fibre posts and composite resin cores: the evaluation of microtensile bond strength following various surface chemical treatments to posts. *Int Endod J* 2006; 39(1): 31-39
24. Plueddemann EP. Silane coupling agents. New York: Plenum Press; 1982. p. 1-152
25. Matinlinna JP, Lassila LV, Ozcan M, Yli-Urpo A, Vallittu PK. An introduction to silanes and their clinical applications in dentistry. *Int J Prosthodont* 2004; 17(2): 155-164
26. Matinlinna JP, Ozcan M, Lassila LV, Vallittu PK. The effect of a 3-methacryloxypropyltrimethoxysilane and vinyltriisopropoxy-silane blend and tris (3-trimethoxysilyl-propyl)isocyanurate on the shear bond strength of composite resin to titanium metal. *Dent Mater* 2004; 20(9): 804-813
27. Goracci C, Fabianelli A, Sadek FT, Papacchini F, Tay FR, Ferrari M. The contribution of friction to the dislocation resistance of bonded fiber posts. *J Endod* 2005; 31(8): 608-612
28. Sahafi A, Peutzfeldt A, Asmussen E, Gotfredsen K. Bond strength of resin cement to dentin and to surface-treated posts of titanium alloy, glass fiber, and zirconia. *J Adhes Dent* 2003; 5(2): 153-162
29. Wrbas KT, Schirrmeister JF, Altenburger MJ, Agrafioti A, Hellwig E. Bond strength between fibre posts and composite resin cores: effect of post surface silanization. *Int Endod J* 2007; 40(7): 538-543.

ขอสำเนาบทความ:

ผศ.พิริยะ ยาริชา ภาควิชาทันตกรรมประดิษฐ์ คณะทันตแพทยศาสตร์ มหาวิทยาลัยเชียงใหม่ อ.เมือง เชียงใหม่ 50202

Reprint Request:

Assist.Prof.Piriya Yavirach, Department of Prosthodontics, Faculty of Dentistry, Chiang Mai University, Chiang Mai 50202
 piriya@chiangmai.ac.th, piriyavdx-18@hotmail.com